



Bemessungsgrundlagen

Anker

Ankersystem	fischer Betonschraube ULTRACUT FBS II
Anker	Betonschraube mit Sechskantkopf und angeformter Scheibe FBS II 12x110 50/35/10 US, galvanisch verzinkter Stahl
Rechnerische Verankerungstiefe	81 mm
Bemessungsdaten	Ankerbemessung in Beton nach Europäischer Technischer Bewertung ETA-15/0352, Option 1, Erteilungsdatum 05.10.2020

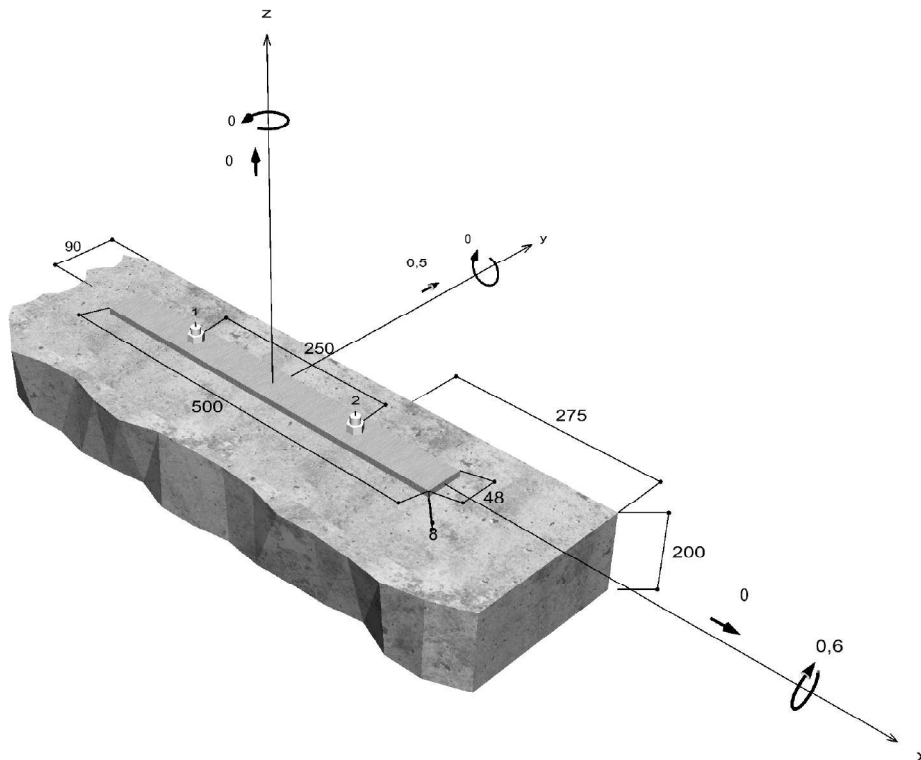


Geometrie / Lasten / Maßeinheiten

mm, kN, kNm

Bemessungswert der Einwirkungen

(inkl. Teilsicherheitsbeiwert Last)



Nicht maßstabsgetreu



Eingabedaten

Bemessungsverfahren	EN 1992-4:2018 mechanische Befestigungselemente
Verankerungsgrund	C25/30, EN 206
Betonzustand	Gerissen, Trockenes Bohrloch
Bewehrung	Keine oder normale Bewehrung. Ohne Randbewehrung. Mit Spaltbewehrung
Bohrverfahren	Hammerbohren
Montageart	Durchsteckmontage
Ringspalt	Ringspalt nicht verfüllt
Belastungsart	Statisch oder quasi-statisch
Ankerplattenposition	Bündig montierte Ankerplatte
Ankerplattenmaße	500 mm x 48 mm x 8 mm
Profiltyp	Kein Profil

Bemessungslasten *)

#	N _{Ed} kN	V _{Ed,x} kN	V _{Ed,y} kN	M _{Ed,x} kNm	M _{Ed,y} kNm	M _{T,Ed} kNm	Belastungsart
1	0,00	0,00	0,50	-0,60	0,00	0,00	Statisch oder quasi-statisch

*) Incl. Teilsicherheitsbeiwert Last

Resultierende Ankerkräfte

Anker-Nr.	Zugkraft kN	Querkraft kN	Querkraft x kN	Querkraft y kN
1	14,21	0,25	0,00	0,25
2	14,21	0,25	0,00	0,25



Max. Betonstauchung :	0,42 ‰
Max. Betondruckspannung :	13,1 N/mm ²
Resultierende Zugkraft :	28,42 kN , X/Y Position (0 / 0)
Resultierende Druckkraft :	28,42 kN , X/Y Position (0 / 21)

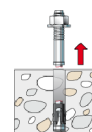
Widerstand gegenüber Zugbeanspruchungen

Nachweis	Last kN	Tragfähigkeit kN	Ausnutzung β _N %
Stahlversagen *	14,21	54,29	26,2
Betonausbruch	14,21	15,02	94,6

* Ungünstigster Anker

Stahlversagen

$$N_{Ed} \leq \frac{N_{Rk,s}}{\gamma_{Ms}} \quad (N_{Rd,s})$$



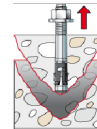


--

$N_{Rk,s}$ kN	Y_{Ms}	$N_{Rd,s}$ kN	N_{Ed} kN	$\beta_{N,s}$ %
76,00	1,40	54,29	14,21	26,2

Anker-Nr.	$\beta_{N,s}$ %	Gruppe Nr.	Maßgebendes Beta
1	26,2	1	$\beta_{N,s,1}$
2	26,2	2	$\beta_{N,s,2}$

Betonausbruch



$$N_{Ed} \leq \frac{N_{Rk,c}}{\gamma_{Mc}} \quad (N_{Rd,c})$$

$$N_{Rk,c} = N_{Rk,c}^0 \cdot \frac{A_{c,N}}{A_{c,N}^0} \cdot \Psi_{s,N} \cdot \Psi_{re,N} \cdot \Psi_{ec,N} \cdot \Psi_{M,N} \quad \text{Gl. (7.1)}$$

$$N_{Rk,c} = 28,07 \text{ kN} \cdot \frac{51.395 \text{ mm}^2}{59.049 \text{ mm}^2} \cdot 0,922 \cdot 1,000 \cdot 1,000 \cdot 1,000 = 22,53 \text{ kN}$$

$$N_{Rk,c}^0 = k_1 \cdot \sqrt{f_{ck}} \cdot h_{ef}^{1,5} = 7,7 \cdot \sqrt{25,0 \text{ N/mm}^2} \cdot (81 \text{ mm})^{1,5} = 28,07 \text{ kN} \quad \text{Gl. (7.2)}$$

$$\Psi_{s,N} = 0,7 + 0,3 \cdot \frac{c}{c_{cr,N}} = 0,7 + 0,3 \cdot \frac{90 \text{ mm}}{122 \text{ mm}} = 0,922 \leq 1 \quad \text{Gl. (7.4)}$$

$$\Psi_{re,N} = 1,000 \quad \text{Gl. (7.5)}$$

$$\Psi_{ec,N} = \frac{1}{1 + \frac{2e_n}{s_{cr,N}}} \Rightarrow \Psi_{ec,Nx} \cdot \Psi_{ec,Ny} = 1,000 \cdot 1,000 = 1,000 \leq 1 \quad \text{Gl. (7.6)}$$

$$\Psi_{ec,Nx} = \frac{1}{1 + \frac{2 \cdot 0 \text{ mm}}{243 \text{ mm}}} = 1,000 \leq 1 \quad \Psi_{ec,Ny} = \frac{1}{1 + \frac{2 \cdot 0 \text{ mm}}{243 \text{ mm}}} = 1,000 \leq 1$$

$$\Psi_{M,N} = 1,00 \geq 1 \quad \text{Gl. (7.7)}$$

$N_{Rk,c}$ kN	Y_{Mc}	$N_{Rd,c}$ kN	N_{Ed} kN	$\beta_{N,c}$ %
22,53	1,50	15,02	14,21	94,6

Anker-Nr.	$\beta_{N,c}$ %	Gruppe Nr.	Maßgebendes Beta
1	94,6	1	$\beta_{N,c,1}$
2	94,6	2	$\beta_{N,c,2}$



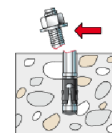
Widerstand gegenüber Querbeanspruchungen

Nachweis	Last kN	Tragfähigkeit kN	Ausnutzung β_v %
Stahlversagen ohne Hebelarm *	0,25	28,47	0,9
Betonausbruch auf der lastabgewandten Seite	0,25	30,04	0,8
Betonkantenbruch	0,50	16,47	3,0

* Ungünstigster Anker

Stahlversagen ohne Hebelarm

$$V_{Ed} \leq \frac{V_{Rk,s}}{\gamma_{Ms}} \quad (V_{Rd,s})$$



$$V_{Rk,s} = k_7 \cdot V_{Rk,s}^0 = 1,00 \cdot 42,70kN = 42,70kN$$

Gl. (7.35)/
(7.36)

$V_{Rk,s}$ kN	γ_{Ms}	$V_{Rd,s}$ kN	V_{Ed} kN	β_{Vs} %
42,70	1,50	28,47	0,25	0,9

Anker-Nr.	β_{Vs} %	Gruppe Nr.	Maßgebendes Beta
1	0,9	1	$\beta_{Vs,1}$
2	0,9	2	$\beta_{Vs,2}$

Betonausbruch auf der lastabgewandten Seite

$$V_{Ed} \leq \frac{V_{Rk,cp}}{\gamma_{Mc}} \quad (V_{Rd,cp})$$



$$V_{Rk,cp} = k_8 \cdot N_{Rk,c} = 2 \cdot 22,53kN = 45,06kN$$

Gl. (7.39a)

$$N_{Rk,c} = N_{Rk,c}^0 \cdot \frac{A_{c,N}}{A_{c,N}^0} \cdot \Psi_{s,N} \cdot \Psi_{re,N} \cdot \Psi_{ec,N} \cdot \Psi_{M,N}$$

Gl. (7.1)

$$N_{Rk,c} = 28,07kN \cdot \frac{51.395mm^2}{59.049mm^2} \cdot 0,922 \cdot 1,000 \cdot 1,000 \cdot 1,000 = 22,53kN$$

$$N_{Rk,c}^0 = k_1 \cdot \sqrt{f_{ck}} \cdot h_{ef}^{1,5} = 7,7 \cdot \sqrt{25,0N/mm^2} \cdot (81mm)^{1,5} = 28,07kN$$

Gl. (7.2)

$$\Psi_{s,N} = 0,7 + 0,3 \cdot \frac{c}{c_{cr,N}} = 0,7 + 0,3 \cdot \frac{90mm}{122mm} = 0,922 \leq 1$$

Gl. (7.4)

$$\Psi_{re,N} = 1,000$$

Gl. (7.5)

$$\Psi_{ec,N} = \frac{1}{1 + \frac{2e_x}{s_{cr,N}}} \Rightarrow \Psi_{ec,Nx} \cdot \Psi_{ec,Ny} = 1,000 \cdot 1,000 = 1,000 \leq 1$$

Gl. (7.6)



$$\Psi_{M,N} = 1,00 \geq 1$$

Gl. (7.7)

$V_{Rk,cp}$ kN	γ_{Mc}	$V_{Rd,cp}$ kN	V_{Ed} kN	$\beta_{V,cp}$ %
45,06	1,50	30,04	0,25	0,8

Anker-Nr.	$\beta_{V,cp}$ %	Gruppe Nr.	Maßgebendes Beta
1	0,8	1	$\beta_{V,cp,1}$
2	0,8	2	$\beta_{V,cp,2}$

Betonkantenbruch



$$V_{Ed} \leq \frac{V_{Rk,c}}{\gamma_{Mc}} \quad (V_{Rd,c})$$

$$V_{Rk,c} = V_{Rk,c}^0 \cdot \frac{A_{c,V}}{A_{c,V}^0} \cdot \Psi_{s,V} \cdot \Psi_{h,V} \cdot \Psi_{\alpha,V} \cdot \Psi_{ec,V} \cdot \Psi_{re,V} \quad \text{Gl. (7.40)}$$

$$V_{Rk,c} = 12,83kN \cdot \frac{70.200mm^2}{36.450mm^2} \cdot 1,000 \cdot 1,000 \cdot 1,000 \cdot 1,000 \cdot 1,000 = 24,71kN$$

$$V_{Rk,c}^0 = k_9 \cdot d_{nom}^\alpha \cdot l_f^\beta \cdot \sqrt{f_{ck}} \cdot c_1^{1,5} \quad \text{Gl. (7.41)}$$

$$V_{Rk,c}^0 = 1,7 \cdot (12mm)^{0,105} \cdot (100mm)^{0,067} \cdot \sqrt{25,0N/mm^2} \cdot (90mm)^{1,5} = 12,83kN$$

$$\alpha = 0,1 \cdot \sqrt{\frac{l_f}{c_1}} = 0,1 \cdot \sqrt{\frac{100mm}{90mm}} = 0,105 \quad \beta = 0,1 \cdot \left(\frac{d_{nom}}{c_1}\right)^{0,2} = 0,1 \cdot \left(\frac{12mm}{90mm}\right)^{0,2} = 0,067 \quad \text{Gl. (7.42/7.43)}$$

$$\Psi_{s,V} = 0,7 + 0,3 \cdot \frac{c_2}{1,5c_1} = 0,7 + 0,3 \cdot \frac{135mm}{1,5 \cdot 90mm} = 1,000 \leq 1 \quad \text{Gl. (7.45)}$$

$$\Psi_{h,V} = \max\left(1; \sqrt{\frac{1,5c_1}{h}}\right) = \max\left(1; \sqrt{\frac{1,5 \cdot 90mm}{200mm}}\right) = 1,000 \geq 1 \quad \text{Gl. (7.46)}$$

$$\Psi_{\alpha,V} = \sqrt{\frac{1}{(\cos \alpha_V)^2 + (0,5 \cdot \sin \alpha_V)^2}} = \sqrt{\frac{1}{(\cos 0,0)^2 + (0,5 \cdot \sin 0,0)^2}} = 1,000 \geq 1 \quad \text{Gl. (7.48)}$$

$$\Psi_{ec,V} = \frac{1}{1 + \frac{2e_v}{3c_1}} = \frac{1}{1 + \frac{2 \cdot 0mm}{3 \cdot 90mm}} = 1,000 \leq 1 \quad \text{Gl. (7.47)}$$

$$\Psi_{re,V} = 1,000$$

$V_{Rk,c}$ kN	γ_{Mc}	$V_{Rd,c}$ kN	V_{Ed} kN	$\beta_{V,c}$ %
24,71	1,50	16,47	0,50	3,0

Anker-Nr.	$\beta_{V,c}$ %	Gruppe Nr.	Maßgebendes Beta
1, 2	3,0	1	$\beta_{V,c,1}$



Ausnutzung für Zug- und Querlasten

Zuglasten	Ausnutzung β_N %
Stahlversagen *	26,2
Betonausbruch	94,6

Querlasten	Ausnutzung β_V %
Stahlversagen ohne Hebelarm *	0,9
Betonausbruch auf der lastabgewandten Seite	0,8
Betonkantenbruch	3,0

* Ungünstigster Anker

Ausnutzung für kombinierte Zug- und Querbelastung

Ausnutzung Stahl	
$\beta_{N,s} = \beta_{N,s;1} = 0,26 \leq 1$	Gl. (7.55)
$\beta_{V,s} = \beta_{V,s;1} = 0,01 \leq 1$	
$\beta_N^2 + \beta_V^2 = \beta_{N,s;1}^2 + \beta_{V,s;1}^2 = 0,07 \leq 1$	
Ausnutzung Beton	
$\beta_{N,c} = \beta_{N,c;1} = 0,95 \leq 1$	Gl. (7.57)
$\beta_{V,c} = \beta_{V,c;1} = 0,03 \leq 1$	
$\frac{\beta_N + \beta_V}{1,2} = \frac{\beta_{N,c;1} + \beta_{V,c;1}}{1,2} = 0,81 \leq 1$	

 **Nachweis erfolgreich**

Angaben zur Ankerplatte

Ankerplattendetails

Vom Anwender ohne Nachweis festgelegte Ankerplattendicke

t = 8 mm

Profiltyp

Kein Profil

Technische Hinweise

Bei der Bemessung wurde vorausgesetzt, dass die Ankerplatte (falls vorhanden) unter den einwirkenden Schnittkräften eben bleibt. Deshalb muss sie ausreichend steif sein. Die in C-Fix enthaltene Ankerplattenbemessung basiert auf einem Spannungsnachweis, erlaubt aber keine direkte Aussage über die Plattensteifigkeit.

Die Lastweiterleitung im Beton ist für den Grenzzustand der Tragfähigkeit sowie den Grenzzustand der Gebrauchstauglichkeit nachzuweisen. Hierfür sind die erforderlichen Nachweise für das Bauteil incl. den Ankerlasten zu führen. Die weitergehenden Bestimmungen des Bemessungsverfahrens hierfür sind zu beachten.

Die Nachweise gelten nur für die Kaltbemessung.

Allgemeine Hinweise

Sämtliche in den Programmen enthaltenen Informationen und Daten beziehen sich ausschließlich auf die Verwendung von fischer-Produkten und basieren auf den Grundsätzen, Formeln und Sicherheitsbestimmungen gem. den technischen Anweisungen und Bedienungs-, Setz und Montageanleitungen usw. von fischer, die vom Anwender genau eingehalten werden müssen.

Die Anzahl, der Hersteller, die Art und die Geometrie

der Befestigungselemente dürfen nicht geändert werden wenn dies nicht vom verantwortlichen Tragwerksplaner nachgewiesen und gestattet ist.

Sämtliche enthaltenen Werte sind Durchschnittswerte; daher sind vor Anwendung des jeweiligen fischer-Produkts stets einsatzspezifische Tests durchzuführen. Die Ergebnisse der mittels der Software durchgeführten Berechnungen beruhen maßgeblich auf den von Ihnen einzugebenden Daten. Sie tragen daher die alleinige Verantwortung für die Fehlerfreiheit, Vollständigkeit und Relevanz der von Ihnen einzugebenden Daten. Sie sind weiterhin alleine dafür verantwortlich, die erhaltenen Ergebnisse der Berechnung vor der Verwendung für Ihre spezifische(n) Anlage(n) durch einen Fachmann

Die Eingabewerte und die Bemessungsergebnisse sind zu kontrollieren und anhand gültiger Normen und Zulassungen auf Plausibilität zu prüfen. Bitte beachten Sie den Haftungsausschluss in den Lizenzbedingungen der Software.



C-FIX 1.120.0.0
Datenbankversion
2023.11.3.17.23
Datum
10.11.2023



überprüfen und freigeben zu lassen, insbesondere hinsichtlich der Konformität mit geltenden Normen und Zulassungen. Das Bemessungsprogramm dient lediglich als Hilfsmittel zur Auslegung von Normen und Zulassungen ohne jegliche Gewährleistung auf Fehlerfreiheit, Richtigkeit und Relevanz der Ergebnisse oder Eignung für eine bestimmte Anwendung. Sie haben alle erforderlichen und zumutbaren Maßnahmen zu ergreifen, um Schäden durch das Bemessungsprogramm zu verhindern oder zu begrenzen. Insbesondere müssen Sie für die regelmäßige Sicherung von Programmen und Daten sorgen sowie regelmäßig ggf. von fischer angebotene Updates des Bemessungsprogramms durchführen. Sofern Sie nicht die automatische Update-Funktion der Software nutzen, müssen Sie durch manuelle Updates über die fischer Internetseite sicherstellen, dass Sie jeweils die aktuelle und somit gültige Version des Bemessungsprogramms verwenden. Soweit Sie diese Verpflichtung schuldhaft verletzen, haftet fischer nicht für daraus entstehende Folgen, insbesondere nicht für die Wiederbeschaffung verlorener oder beschädigter Daten oder Programme.



Angaben zur Montage

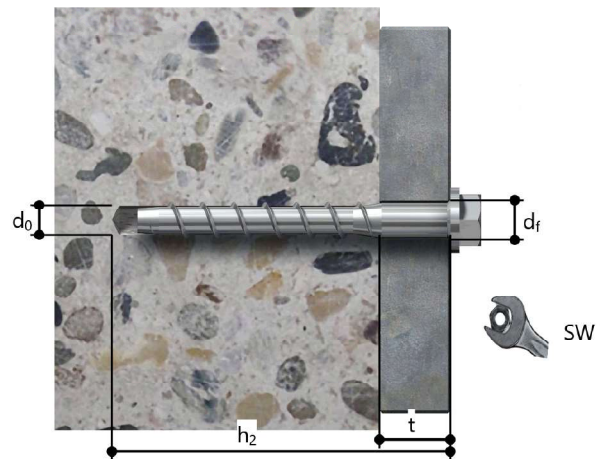
Anker

Ankersystem	fischer Betonschraube ULTRACUT FBS II	
Anker	Betonschraube mit Sechskantkopf und angeformter Scheibe FBS II 12x110 50/35/10 US, galvanisch verzinkter Stahl	Art.-Nr. 536871
Zubehör	Handausbläser Groß ABG SDS Plus-V II 12/160/210	Art.-Nr. 567792 Art.-Nr. 531804



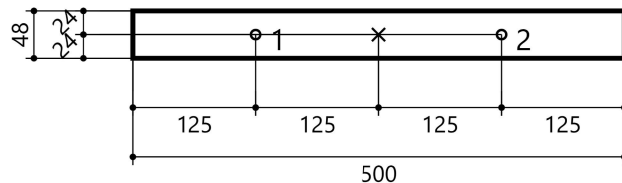
Montagedetails

Gewindegröße	-
Bohrlochdurchmesser	$d_0 = 12 \text{ mm}$
Bohrlochtiefe	$h_2 = 120 \text{ mm}$
Rechnerische Verankerungstiefe	$h_{ef} = 81 \text{ mm}$
Einbautiefe	$h_{nom} = 100 \text{ mm}$
Bohrverfahren	Hammerbohren
Bohrlochreinigung	Bohrloch mit Handausbläser ausblasen.
Montageart	Durchsteckmontage
Ringspalt	Ringspalt nicht verfüllt
Maximales Anzugsmoment	-
Schlüsselweite SW	17 mm
Ankerplattendicke	$t = 8 \text{ mm}$
Gesamte Befestigungsdicke	$t_{fix} = 8 \text{ mm}$
$T_{fix,max}$	$t_{fix,max} = 10 \text{ mm}$



Ankerplattendetails

Material der Ankerplatte	Nicht verfügbar
Ankerplattendicke	$t = 8 \text{ mm}$
Durchgangsloch im Anbauteil	$d_f = 16 \text{ mm}$



Anbauteil

Profiltyp	Kein Profil
-----------	-------------

Ankerkoordinaten

Anker-Nr.	x mm	y mm
1	-125	0
2	125	0